

# O Problema de Visita de Polígonos\*

Gabriel F. Ushijima<sup>†</sup>      Ernesto G. Birgin<sup>†</sup>

7 de janeiro de 2026

## Resumo

Esse artigo apresenta diversas implementações de algoritmos para o problema de visita de polígonos (Touring Polygons Problem - TPP), que consiste em encontrar o caminho mais curto que visita um conjunto de polígonos no plano. O problema em sua forma geral é NP-difícil, assim, primeiro consideramos uma versão simplificada onde os polígonos são convexos e não se sobrepõem, e apresentamos um algoritmo exato baseado em mapas de último passo. Em seguida, discutimos heurísticas para o caso geral, utilizando técnicas de programação inteira mista. Finalmente, realizamos experimentos computacionais para avaliar o desempenho dos algoritmos propostos em instâncias de diferentes tamanhos e características, comparando com solvers comerciais. Os resultados indicam que as abordagens desenvolvidas são eficazes para resolver o TPP em diversas situações práticas.

**Palavras-chave:** Problema de visita de polígonos, otimização geométrica, complexidade, experimentos numéricos.

## 1 Introdução

O Problema de Visita de Polígonos (Touring Polygons Problem - TPP) é um problema de otimização geométrica que consiste em encontrar o caminho mais curto que visita um conjunto de polígonos no plano. Esse tipo de problema tem aplicações em diversas áreas, principalmente no contexto de roteirização e planejamento de trajetórias para veículos autônomos, onde é necessário garantir que certas regiões sejam visitadas de forma eficiente, como a inspeção automatizada de armazéns [1], [2]. Dentre as diversas variações do problema, vamos considerar inicialmente uma versão simplificada onde os polígonos são convexos e não se sobrepõem, apresentando três abordagens distintas para sua resolução. A primeira abordagem é uma implementação intuitiva das ideias descritas por Dror et al. (2003) [3] baseada em mapas de último passo. A segunda abordagem melhora a eficiência da primeira ao uma estratégia de busca binária para localizar os pontos nos mapas de último passo. A terceira abordagem utiliza uma estratégia de memoização para evitar cálculos desnecessários.

Em seguida, discutimos heurísticas para o caso geral do TPP, onde os polígonos podem ser côncavos. Nos baseamos principalmente na ideia de particionar os polígonos côncavos em subconjuntos convexos e aplicar as soluções desenvolvidas para o caso convexo. Além disso, exploramos técnicas de programação inteira mista para modelar o problema e utilizar solvers comerciais para encontrar soluções aproximadas, como o Gurobi, então comparamos os resultados obtidos com nossas implementações.

---

\*Esse trabalho foi parcialmente apoiado pela agência FAPESP (processo 2025/13861-1).

<sup>†</sup>Instituto de Matemática e Estatística, Universidade de São Paulo, Rua do Matão, 1010, Cidade Universitária, 05508-090, São Paulo, SP, Brazil (e-mail: gabriel\_ushijima@ime.usp.br, egbirgin@ime.usp.br).

## 2 O Problema de Visita de Polígonos Convexos

Primeiramente, consideramos o TPP no caso de polígonos convexos e não sobrepostos. Seja  $s, t \in \mathbb{R}^2$  pontos no plano e  $P_1, \dots, P_k$  uma sequência de polígonos convexos disjuntos, dados por uma sequência de vértices ordenados em sentido anti-horário. O objetivo é encontrar um caminho de comprimento mínimo que começa em  $s$ , termina em  $t$  e visita cada polígono  $P_i$  em ordem pelo menos uma vez. Dizemos que o caminho visita os polígonos na ordem  $P_1, P_2, \dots, P_k$  se existem pontos no caminho  $p_1, p_2, \dots, p_k$  tais que  $p_i \in P_i$  para  $i = 1, 2, \dots, k$ . Vamos implementar as ideias apresentadas por Dror et al. (2003) [3] para resolver esse problema de forma exata, assumindo que o leitor já leu o artigo mencionado, uma vez que fazemos uso direto de suas definições e resultados. O código completo está disponível no repositório GitHub.

Retomando as definições do artigo, dizemos que um  $i$ -path até  $p$  é um caminho de comprimento mínimo que começa em  $s$ , termina em  $p$  e visita os polígonos  $P_1, P_2, \dots, P_i$  em ordem, consideramos que já sabemos que todo  $i$ -path é a união de segmentos de reta e é único. A região de primeiro contato  $T_i$  de um polígono  $P_i$  é o conjunto de pontos  $p \in \partial P_i$  tais que o segmento entre  $P_{i-1}$  e  $P_i$  do  $i$ -path até  $p$  intersecta  $P_i$  apenas em  $p$ . O mapa de último passo  $S_i$  de um polígono  $P_i$  é uma partição de  $\mathbb{R}^2$  em regiões  $R$  tais que o último segmento do  $i$ -path até qualquer ponto  $p \in R$  parte de um mesmo vértice de  $P_i$  ou de uma mesma aresta de  $P_i$  ou atravessa  $P_i$ .

Como discutido em [3, Lemma 3.], se tivermos  $T_0, \dots, T_i$ ,  $S_0, \dots, S_i$  e soubermos localizar um ponto  $p$  em  $S_i$ , então podemos calcular o  $i$ -path até  $p$  de forma eficiente. Se  $p$  pertence à região  $R$  de  $S_i$  e essa região está associada a um vértice  $v$ , então o último segmento do  $i$ -path até  $p$  é o segmento  $\overline{vp}$  e o restante do caminho é o  $(i-1)$ -path até  $v$ . Se  $R$  está associada a uma aresta  $e$ , então refletimos  $p$  em relação à reta que contém  $e$ , chamando esse ponto de  $p'$ , então calculamos o  $(i-1)$ -path até  $p'$ , considerando-o apenas até o ponto que seu último segmento intersecta a aresta  $e$  e conectamos o final desse caminho com o ponto  $p$ , sendo esse o  $i$ -path. Por fim, se  $R$  corresponde a atravessar  $P_i$ , então o  $i$ -path até  $p$  é igual ao  $(i-1)$ -path até  $p$ . Implementamos essa ideia no Algoritmo 1, assumindo que temos um algoritmo auxiliar chamado `LocalizaPonto` que localiza o ponto  $p$  no mapa de último passo  $S_i$ , vamos discutir diferentes implementações para esse procedimento posteriormente.

---

### Algoritmo 1: Consulta Caminho

---

**Entrada:**  $p, i, (P_1, \dots, P_i), (T_1, \dots, T_i), (S_1, \dots, S_i)$   
**Saída :**  $i$ -path até  $p$  como uma sequência de pontos em  $\mathbb{R}^2$ .

---

```

1 if  $i = 0$  :
2   return  $[s, p]$ 
3  $R \leftarrow \text{LocalizaPonto}(p, S_i)$  // Localiza o ponto  $p$  no mapa de último passo  $S_i$ 
4 if  $R$  corresponde a um vértice  $v$  de  $P_i$  :
5   // Adiciona  $v$  ao final do  $(i-1)$ -path até  $v$ 
6   return ConsultaCaminho( $v, i - 1, (P_1, \dots, P_{i-1}), (T_1, \dots, T_{i-1}), (S_1, \dots, S_{i-1}) \oplus [p]$ )
7 else if  $R$  corresponde a uma aresta  $e$  de  $P_i$  :
8    $p' \leftarrow$  reflexão de  $p$  em relação à reta que contém  $e$ 
9   path  $\leftarrow$  ConsultaCaminho( $p', i - 1, (P_1, \dots, P_{i-1}), (T_1, \dots, T_{i-1}), (S_1, \dots, S_{i-1})$ )
10  path'  $\leftarrow$  pontos de path que antecedem  $p$ 
11   $q' \leftarrow$  último ponto de path'
12   $q \leftarrow$  ponto de interseção entre  $\overline{q'p'}$  e  $e$ 
13  // Adiciona  $q$  e  $p$  ao final do  $(i-1)$ -path até  $p'$  que precede  $q'$ 
14  return path'  $\oplus [q', p]$ 
15 else
16   //  $R$  corresponde a atravessar  $P_i$ 
17   return ConsultaCaminho( $p, i - 1, (P_1, \dots, P_{i-1}), (T_1, \dots, T_{i-1}), (S_1, \dots, S_{i-1})$ )

```

---

O Algoritmo 1 permite que calculemos o  $i$ -path até qualquer ponto  $p$  de forma eficiente, podendo ser utilizado para calcular o  $k$ -path até  $t$ , que é exatamente a solução do problema. No entanto, vamos utilizar esse algoritmo em muitos outros momentos, com a diferença de que estamos apenas interessados no último segmento do  $i$ -path até  $p$ , ademais, o caso em que um ponto está em uma região associada a um vértice de  $P_i$  permite que determinemos o último segmento diretamente, sem precisar calcular o restante do caminho. Assim, implementamos o Algoritmo ??, que dado um ponto  $p$  e um índice  $i$ , retorna o ponto inicial do último segmento do  $i$ -path até  $p$ .

---

**Algoritmo 2:** Consulta Último Passo

---

**Entrada:**  $p, i, (P_1, \dots, P_i), (T_1, \dots, T_i), (S_1, \dots, S_i)$

**Saída :** Ponto que precede  $p$  no  $i$ -path até  $p$ .

---

```

1 if  $i = 0$  :
2   return  $s$ 
3    $R \leftarrow \text{LocalizaPonto}(p, S_i)$ 
4   if  $R$  corresponde a um vértice  $v$  de  $P_i$  :
5     return  $v$ 
6   else if  $R$  corresponde a uma aresta  $e$  de  $P_i$  :
7      $p' \leftarrow$  reflexão de  $p$  em relação à reta que contém  $e$ 
8     path  $\leftarrow \text{ConsultaCaminho}(p', i - 1, (P_1, \dots, P_{i-1}), (T_1, \dots, T_{i-1}), (S_1, \dots, S_{i-1}))$ 
9     path'  $\leftarrow$  pontos de path que antecedem  $p$ 
10     $q' \leftarrow$  último ponto de path'
11     $q \leftarrow$  ponto de interseção entre  $\overline{q'p'}$  e  $e$ 
12    return  $q$ 
13 else
14   return ConsultaÚltimoSegmento( $p, i - 1, (P_1, \dots, P_{i-1}), (T_1, \dots, T_{i-1}), (S_1, \dots, S_{i-1})$ )

```

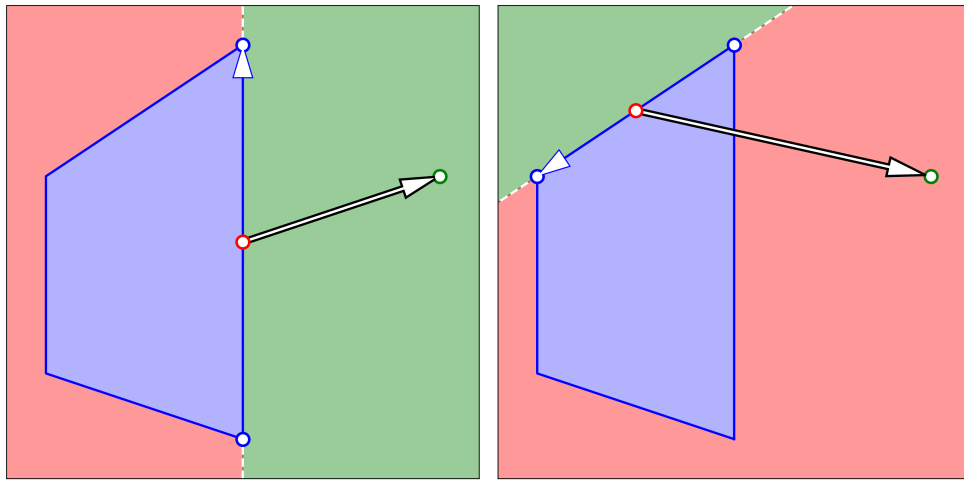
---

Esses dois algoritmos serão utilizados em todas as implementações que discutiremos a seguir, a diferença entre elas estará na implementação do algoritmo **LocalizaPonto** e na forma como calculamos as regiões de primeiro contato  $T_i$  e os mapas de último passo  $S_i$  para cada polígono  $P_i$ .

## 2.1 Primeira Abordagem

Primeiramente, vamos calcular a região de primeiro contato  $T_i$  de um polígono  $P_i$ , sabemos que essa região é a união de arestas de  $P_i$ , sendo delimitada por vértices de  $P_i$  [3, **Lemma 2.**], assim, apenas precisamos determinar quais arestas de  $P_i$  pertencem a  $T_i$ . Para isso, para cada aresta de  $P_i$ , definimos  $m$  como o ponto médio dessa aresta e então calculamos o  $i$ -path até  $m$ , definindo  $q$  como o ponto que antecede  $m$  nesse caminho. Se o segmento entre  $q$  e  $m$  intersecta  $P_i$  apenas em  $m$ , então, por definição,  $m$  pertence a  $T_i$  e como  $T_i$  é a união de arestas de  $P_i$ , toda a aresta que contém  $m$  pertence a  $T_i$ . Repetimos esse processo para todas as arestas de  $P_i$  e assim obtemos  $T_i$ .

Agora, para determinar se o segmento entre  $q$  e  $m$  intersecta  $P_i$  apenas em  $m$ , simplesmente verificamos se o vetor  $\vec{qm}$  está do lado externo da aresta de  $P_i$  que contém  $m$ , ou seja, se o produto escalar entre  $\vec{qm}$  e o vetor normal à aresta de  $P_i$  que contém  $m$  é positivo, isso é equivalente a dizer que o produto vetorial entre  $\vec{qm}$  e o vetor que conecta os dois vértices da aresta de  $P_i$  que contém  $m$  é negativo. Ilustramos essa ideia na Figura 1. Também implementamos isso no Algoritmo 3

Figura 1: Região de primeiro contato  $T_i$  de um polígono  $P_i$ .**Algoritmo 3:** Região de Primeiro Contato

---

**Entrada:**  $s, i, (P_1, \dots, P_i), (T_1, \dots, T_{i-1}), (S_1, \dots, S_{i-1})$ 
**Saída** : Região de primeiro contato  $T_i$  de  $P_i$  como um conjunto de arestas de  $P_i$ .

---

```

1  $T_i \leftarrow \emptyset$ 
2 for cada aresta  $e$  de  $P_i$  :
3    $v^1 \leftarrow$  vértice anterior de  $e$ 
4    $v^2 \leftarrow$  vértice posterior de  $e$ 
5    $m \leftarrow (v^1 + v^2)/2$ 
6    $q \leftarrow$  ConsultaÚltimoSegmento( $m, i - 1, (P_1, \dots, P_{i-1}), (T_1, \dots, T_{i-1}), (S_1, \dots, S_{i-1})$ )
7   if  $\overrightarrow{qm} \times \overrightarrow{v^1v^2} < 0$  :
8     Adiciona  $e$  a  $T_i$ 
9 return  $T_i$ 
```

---

## Referências

- [1] J. Liu e H. Liu, “Research on Path Optimization Method for Warehouse Inspection Robot,” *Applied Artificial Intelligence*, v. 37, n. 1, 2023. endereço: <https://www.tandfonline.com/doi/full/10.1080/08839514.2023.2254048#abstract>.
- [2] K. J. Obermeyer, “Path Planning for a UAV Performing Reconnaissance of Static Ground Targets in Terrain,” *GNC-31: Intelligent Control in Aerospace Applications*, 2009. endereço: <https://doi.org/10.2514/6.2009-5888>.
- [3] M. Dror, A. Efrat, A. Lubiw e J. S. B. Mitchell, “Touring a sequence of polygons,” em *Proceedings of the Thirty-Fifth Annual ACM Symposium on Theory of Computing*, sér. STOC ’03, San Diego, CA, USA: Association for Computing Machinery, 2003, pp. 473–482, ISBN: 1581136749. DOI: 10.1145/780542.780612. endereço: <https://doi.org/10.1145/780542.780612>.